



کانه نگاری و شیمی کانه‌ها در عدسی‌های سولفیدی - اکسیدی موجود در توده مافیک میشو (جنوب‌غرب مرند، آذربایجان شرقی)

مهسا قربانی^{*}، محمدرضا حسین‌زاده^۱، محسن مؤید^۱، امیرمرتضی عظیم‌زاده^۲، نصیر عامل^۱

۱- گروه زمین‌شناسی، دانشکده علوم طبیعی، دانشگاه تبریز

۲- دانشگاه علوم زمین و ژئوفیزیک کاربردی ائوبن اتریش

(دریافت مقاله: ۹۱/۰۳/۹۱، نسخه نهایی: ۹۲/۰۲/۲۳)

چکیده: توده‌ی مافیک میشو در جنوب‌غرب مرند و بخش مرکزی ارتفاعات میشو در استان آذربایجان شرقی قرار دارد. بررسی‌های انجام شده بر روی این توده‌ی نفوذی وجود کانی‌سازی سولفیدی - اکسیدی را نشان می‌دهد. بخش سولفیدی بیشتر شامل پیروتیت بوده که با کالکوپیریت، پنتلاندیت، اسفالریت، پیریت و تروپلیت همراه است. ایلمنیت و به مقدار کمتر مگنتیت فاز اکسیدی را تشکیل می‌دهند. کانی‌های سولفیدی اولیه در اثر دگرسانی بهوسیله‌ی پیریت و ویولاریت جانشین شده‌اند. با توجه به حضور بافت جدایشی در نمونه‌های مورد بررسی مانند کالکوپیریت در اسفالریت می‌توان دماهای بالای 400°C را برای تشکیل فازهای سولفیدی در نظر گرفت. نسبت Co/Ni این سولفیدها نشانگر تشکیل آن‌ها در یک سیستم $\text{Ni}-\text{Fe}-\text{Cu}$ -آمیزش ناپذیر است.

واژه‌های کلیدی: سنگ‌های مافیک، کانی‌سازی سولفیدی، ریزپردازش، آمیزش ناپذیر، میشو، مرند.

بخش‌های مافیک حضور دارند. بررسی‌های انجام شده در منطقه میشو، وجود عدسی‌های سولفیدی - اکسیدی را داخل سنگ‌های مافیک نشان می‌دهد. بررسی‌های مقدماتی روی این همبافت شامل تهیه نقشه‌ی $1:250000$ - $1:2500000$ همبافت توسط [۳] بود که طی آن، این مجموعه عنوان چهارگوش مرند [۴]، این مجموعه به عنوان سنگ-پلدشت توسط [۳] بود. در نقشه‌ی زمین‌شناسی همبافت افیولیتی معروفی شده است. در نقشه‌ی زمین‌شناسی $1:100000$ - $1:1000000$ های آذین درونی معمولی معرفی شده است. در [۵] توده‌ی مافیک و اولترامافیک میشو را از بقایای پوسته اقیانوسی پالئوتیس اول به سن هرسینین تعریف شده‌اند. بررسی‌های نیز در مورد روابط بافتی کانی‌های تیره و سیلیکات‌ها در این سنگ‌ها توسط [۶] صورت گرفته است. هدف از این پژوهش بررسی دقیق کانی‌شناسی عدسی‌های سولفیدی، با تکیه بر نتایج آنالیز ریزپردازشی روی کانه‌های موجود است.

مقدمه

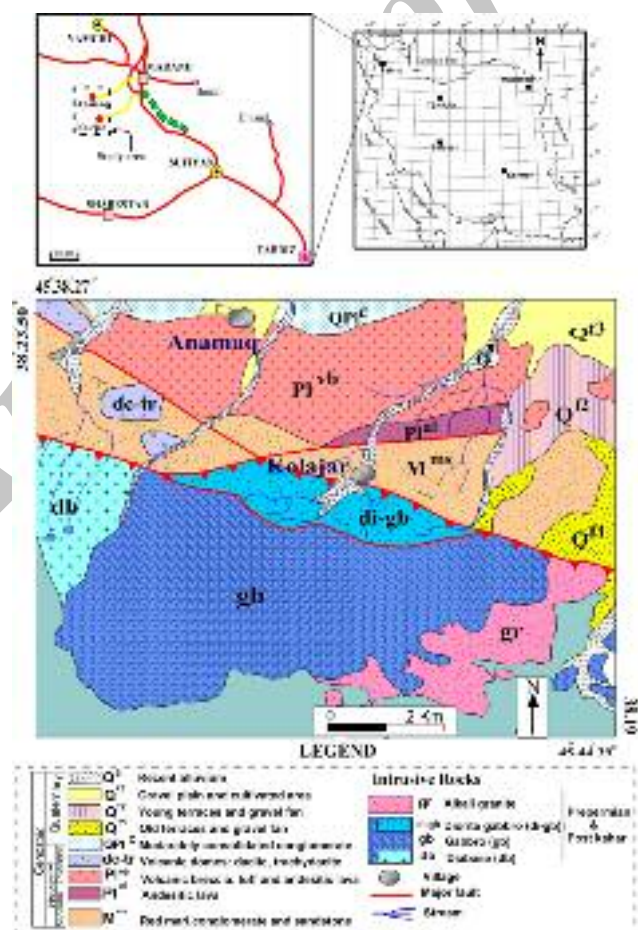
ذخایر سولفیدی $\text{Cu}-\text{Ni} \pm \text{PGE}$ ماقمایی در نتیجه‌ی جدایش و انباست قطرات سولفید مایع از ماقمای مافیک یا اولترامافیک و ورود عناصر کالکوفیل به داخل این قطرات از ماقمای سیلیکاتی تشکیل می‌شوند [۱]. مایع سولفیدی به عنوان یک جمع کننده برای عناصر کجالت، مس، نیکل و گروه پلاتین عمل می‌کند به علت اینکه این عناصر به طور ترجیحی در مایع سولفیدی 1000 تا 10000 برابر مایع سیلیکاتی متمرکز می‌شوند [۲]. گسترده مورد بررسی در فاصله‌ی 8 کیلومتری جنوب-غربی مرند استان آذربایجان شرقی، بین طول‌های جغرافیایی $38^{\circ}, 38^{\circ}, 38^{\circ}, 38^{\circ}, 38^{\circ}, 38^{\circ}$ و عرض‌های جغرافیایی $45^{\circ}, 45^{\circ}, 44^{\circ}, 44^{\circ}, 44^{\circ}, 44^{\circ}$ واقع شده است. توده‌ی مافیک میشو رخنمون اصلی این گستره را تشکیل می‌دهد و بخش‌های اولترامافیک با مرز گسل و به صورت پراکنده همراه

* نویسنده مسئول، تلفن نمابر: ۰۴۱۱ (۳۳۹۲۷۱۶)، پست الکترونیکی: gorbani.mahsa@yahoo.com

سطح فرسایش یافته‌ی گرانیت A-type به سن هرسینین جاگرفته‌اند [7] که خود آنها نیز در این مجموعه‌ی سنگی (توده مافیک - اولترامافیک) نفوذ کرده‌اند. بنابراین سن این توده به زمان پس از پرکامبرین و پیش از هرسینین نسبت داده می-شود. توده‌ی گابرویی میشو در بخش شمالی در راستای یک گسل وارون در کنار سازندهای تخریبی - تبخیری میوسن شامل مارن‌های سرخ، مارن‌های ژیپس‌دار، ماسه سنگ‌های دارای نمک و ژیپس) قرار گرفته است. این نهشته‌ها در بخش‌های شمالی‌تر به‌وسیله‌ی گنبدهای آتشفشنای کوچک (تراکی - داسیت تا داسیت) بریده شده و با سنگ‌های آذر آواری (توفها و آگلومراها) و گدازه‌های آندزیتی پلیوسن پوشیده شده‌اند. نبود چینه‌ای دونین و کربونیفر و دگرشیبی زاویه‌دار بین نهشته‌های پیش‌رونده پرمین و طبقات پالئوزوئیک زیرین در کوه‌های میشو را می‌توان به حرکات کوهزایی هرسینین نسبت داد [5].

زمین‌شناسی منطقه

توده‌ی مافیک - اولترامافیک میشو در منطقه‌ی مورد بررسی به طول حدود ۱۲ کیلومتر و عرض حدود ۵ کیلومتر در ۸ کیلومتری جنوب غرب مرند در استان آذربایجان شرقی واقع شده است (شکل ۱). نمونه‌های مافیک دارای ترکیب گابرونوریت، تروکتولیت و الیوین گابرونوریت بوده و بخش اولترامافیک دارای ترکیب هارزبورژیت - لرزولیت‌اند. در داخل سنگ‌های مافیک، عدسی‌های سولفیدی رخنمون دارند که در بخش‌هایی از این عدسی‌ها کانه‌های سولفیدی دستخوش هوازدگی شده و به اکسیدهای آهن برونزا (بیشتر گوتیت) تبدیل شده و رنگ زرد مایل به قهوه‌ای تا آجری به آن‌ها داده است (شکل ۲). این توده سنگ‌های بیشتر شیلی- مارنی (تشکیلات کهر) به سن پرکامبرین را گستته و باعث دگرگونی همبری در آنها شده است. از این رو سن این توده‌ها جوان‌تر از سازند کهر در نظر گرفته شده است. رسوب‌های پرمین به طور پیش‌رونده روی



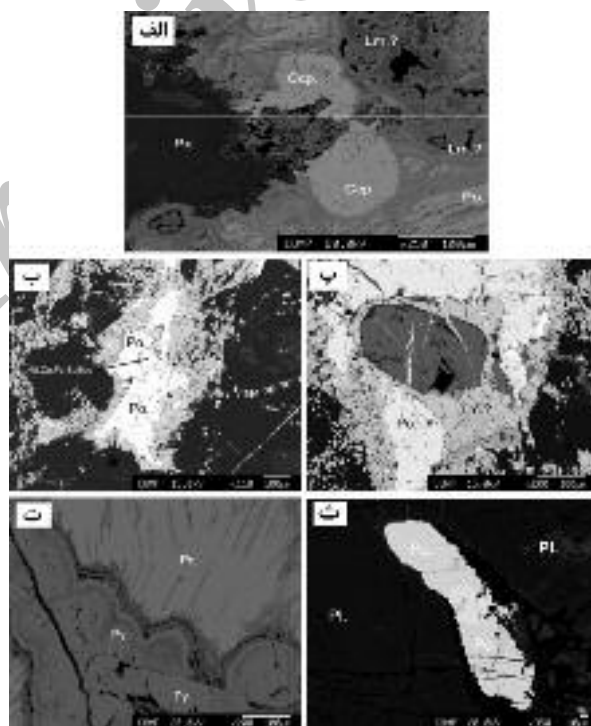
شکل ۱ نقشه‌ی ساده شده توزیع واحدهای سنگی منطقه‌ی مورد بررسی (برگرفته از نقشه ۱:۱۰۰۰۰۰ [۴] با تغییرات) همراه با نقشه‌ی راههای دسترسی به منطقه.



شکل ۲ تصاویر عدسی‌های سولفیدی موجود در داخل گابروها. در تصاویر الف، ب و پ آثاری از هوازدگی به گوتیت مشاهده می‌شوند.

اتریش با یک ابریزووهنده مدل Jeol JXA 8200 آنالیز شده و تصاویر پسپراکنده نیز با استفاده از همین دستگاه تهیه شد (شکل ۳). این دستگاه به روش WDS سولفیدهای آهن، نیکل و مس موجود را با ولتاژ شتاب دهنده ۲۰ KV، جریان پرتو الکترونی ۱۰ nA و بیشینه‌ی زمان تجزیه ۲۰ ثانیه تجزیه کرد.

روش بررسی
تعداد ۱۵ مقطع صیقلی از سنگ‌های مافیک می‌شوند بررسی کانه نگاری قرار گرفته‌اند. برای تعیین کانی‌شناسی دقیق عدسی‌های سولفیدی موجود در منطقه، ۳ نمونه سالم و نادگرسان از توده‌ی مافیک منطقه با یک ریزپردازندۀ الکترونی در آزمایشگاه Eugen F. stumpfl دانشگاه لئوبن

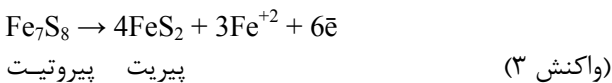
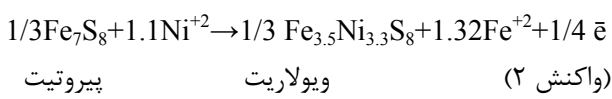
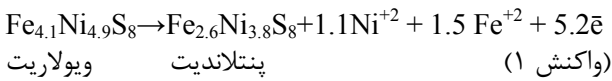


شکل ۳ تصاویر از کانی‌سازی سولفیدی در نمونه‌های مافیک منطقه‌ی مورد بررسی. (الف) کالکوپیریت و پیروتیت که در اطراف کانی پیروکسن دیده می‌شوند، (ب) پیروتیت که دارای ادخال‌هایی از سولفیدهای Ni-Cu-Fe است، (پ) پیروتیت که در اطراف آن کانی اکسیدی ایلمنیت مشاهده می‌شود، (ت) پیروتیت نسل دوم حاصل از دگرسانی پیروتیت، (ث) پیروتیت که فضای خالی بین کانی‌های پلازیوکلаз را پر کرده است.

(شکل ۵ ب). ترویلیت به مقدار (کمتر از ۰/۵٪) به صورت تیغه‌های روشن درون پیروتیت دیده شده است (شکل ۴ پ). ترویلیت معمولاً در سنگ‌های آذرین مافیک وجود ندارد ولی حضور آن نشان می‌دهد که پیروتیت بسیار غنی از آهن بوده و در دمای پایین به صور جدا از ترویلیت قرار گرفته است [۸]. پیروت نسل اول تا (۰/۵٪) به صورت شکل‌دار تا نیمه شکل‌دار و نیز به صورت ادخال در داخل پیروتیت مشاهده می‌شود (شکل ۵ پ). اسفالریت تا (۱۰٪) در برخی از نمونه‌های مورد بررسی به صورت بلورهای مستقل و نیز ادخال در پیروتیت مشاهده شده و گاهی از حاشیه جانشین پیروتیت شده است (شکل ۴ ت). در تعدادی از نمونه‌ها، اسفالریت دارای بیماری کالکوپیریت است (شکل ۵ ت، ث). کانی‌های اکسیدی Fe-Ti، در نمونه‌های منطقه‌ی مورد بررسی شامل ایلمینیت تا (۰/۵٪) به رنگ خاکستری تیره (شکل ۴ ت، ث و شکل ۵ ج) و به مقدار خیلی کمتر، مگنتیت (شکل ۴ ت) هستند که به صورت جزایری در کانه‌های پیروتیت مشاهده می‌شوند.

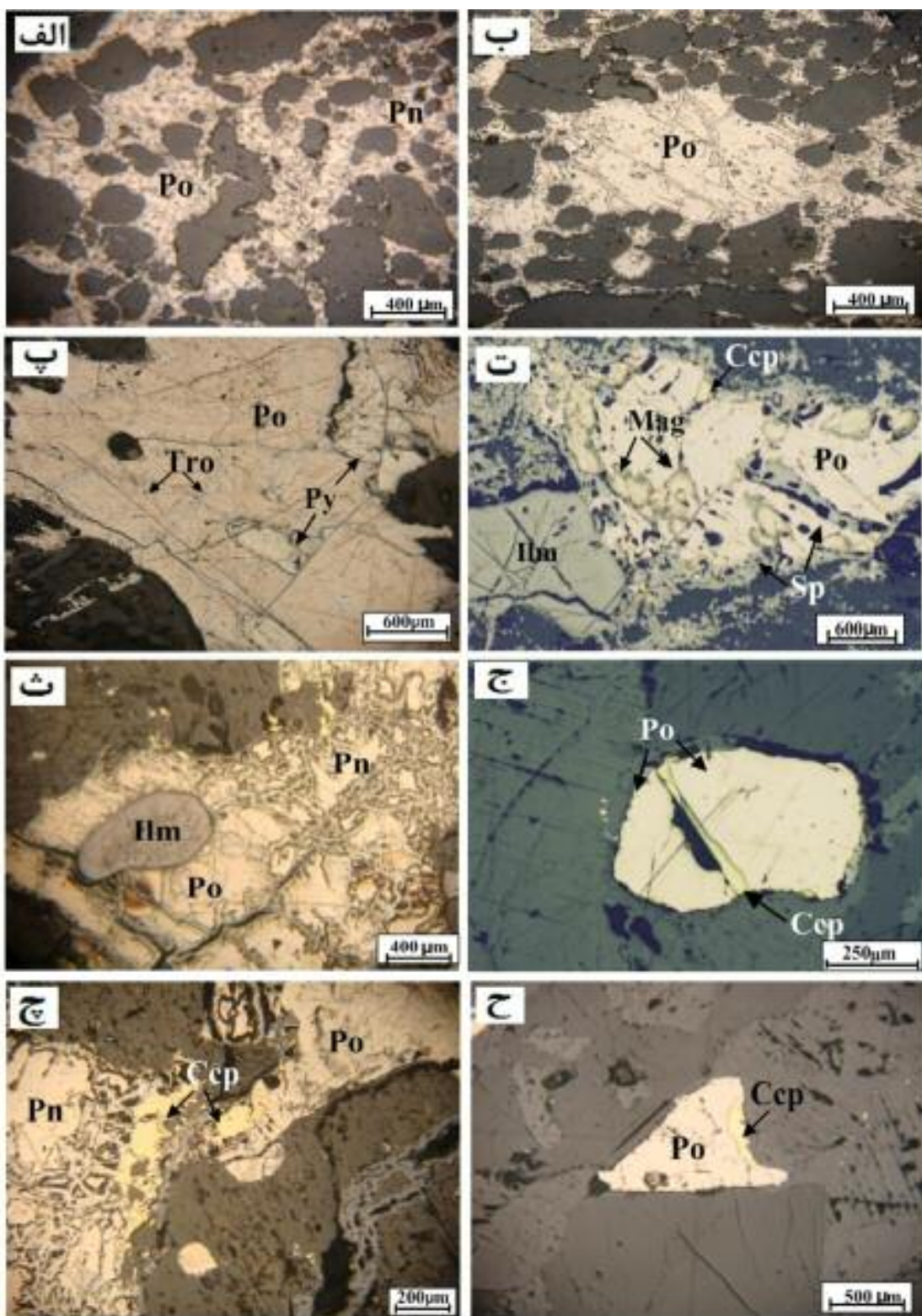
کانی‌های ثانویه

در نمونه‌های مورد بررسی پنتلاندیت و پیروتیت در اثر دگرسانی در طول ریز شکستگی‌ها (شکل ۵ ب) به ویولاریت (Violarite) تبدیل شده‌اند طبق [۹] از تبدیل شدن پنتلاندیت به ویولاریت مقداری نیکل آزاد می‌شود (واکنش ۱) که این نیکل صرف تبدیل پیروتیت به طور کامل مصرف شد، (واکنش ۲) و واکنش‌ها هنگامی که پنتلاندیت به طور کامل مصرف شد، متوقف می‌شوند. همچنین در برخی از نمونه‌ها پیروتیت در اثر دگرسانی به پیریت ریزدانه دگرسان شده، که منجر به تشکیل بافتی به نام چشم پرنده شده است (شکل ۵ ج). در جانشینی پیروتیت به وسیله‌ی پیریت نسل دوم (واکنش ۳)، فرض می‌شود که سولفور ثابت بوده و در نتیجه آهن و الکترون‌ها از سیستم خارج می‌شوند [۹]. در شرایط اکسایش شدید، پیروتیت مستقیماً به هیدروکسی/اکسیدهای آهن مانند گوتیت تبدیل شده است (شکل ۵ ح) که به صورت حاشیه‌هایی در اطراف و رگه‌هایی در داخل پیروتیت مشاهده می‌شوند.

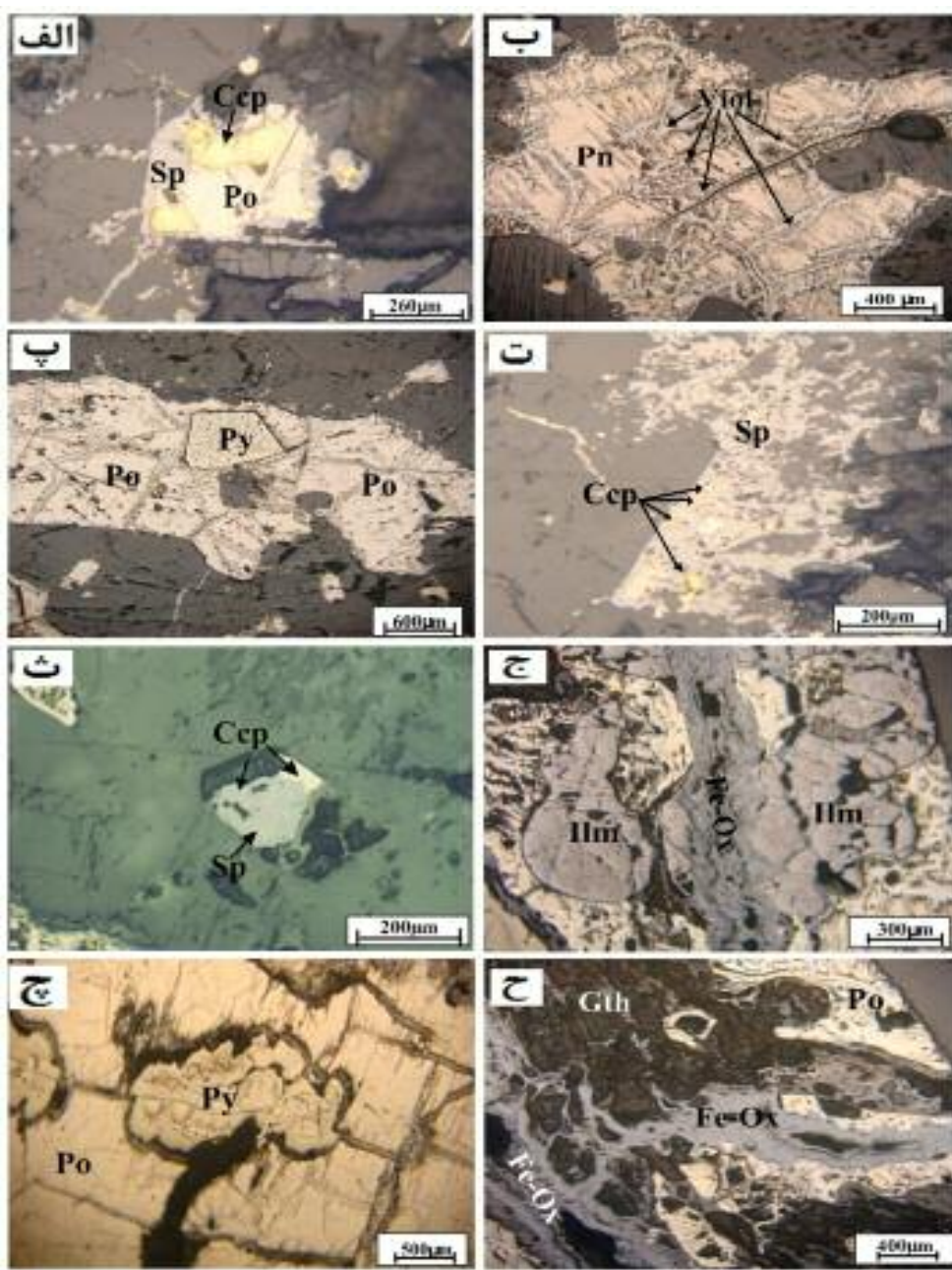


کانی‌شناسی

بررسی های میکروسکوپی نشان می دهد که کانی سازی در سنگ های مافیک میشو شامل فاز های سولفیدی (Fe, Ni, Cu) و اکسیدی (Fe,Ti) است. بخش سولفیدی بیشتر شامل پیروتیت ($Fe_{1-x}S$), بوده که با کالکوپیریت ($CuFeS_2$), پنتلاندیت ($Fe,Ni)_9S_8$, اسفالریت (ZnS), پیریت نسل اول ($FeTiO_2$) و تروپلیت (FeS) همراه است. ایلمینیت (FeS_2) به مقدار کمتر مگنتیت (Fe_3O_4) فاز اکسیدی را تشکیل می دهد. کانی های ویولاریت (Ni_2FeS_4), پیریت نسل دوم (FeS_2) از تبدیل کانی های سولفیدی اولیه و گوتیت ($FeO.OH$) طی هوازدگی کانی های سولفیدی تشکیل شده اند. کانی های باطله شامل پلاژیوکلاز، اورتوبیروکسن، کلینوپیروکسن، الیوین و فارهای ثانویه شامل سربانتن، تالک، کلسیت، سریسیت، کلریت و کانی های رسی می شوند. کانی سازی سولفیدی در نمونه های مافیک مورد بررسی بیشتر به صورت بین دانه ای رخ داده است؛ بدین صورت که کانه های سولفیدی فضاهای خالی بین کانی های سیلیکاتی را پر کرده و در برخی از نمونه ها آن ها را کاملاً در برگرفته و همانند سیمان به هم چسبانده اند (شکل ۴-الف). پیروتیت فراوانترین فاز سولفیدی موجود در نمونه های مورد بررسی بوده و تا ۶۰٪ نمونه ها را شامل می شود. رنگ قهوه ای مایل به زرد تا صورتی ناهمسانگرد بسیار قوی به رنگ زرد و آبی متمایل به خاکستری، قابل تشخیص بوده و تقریباً در تمام نمونه ها حضور دارد (شکل ۴ ب). در داخل برخی از پیروتیت ها تیغه هایی به رنگ روشن و تروپلیت دیده می شوند. (شکل ۴ پ). گاهی پیروتیت ها دارای نفوذی هایی از پیریت (شکل ۴ پ)، کالکوپیریت و اسفالریت (شکل ۴ ت) بوده و در بعضی از نمونه ها پیروتیت جانشین مگنتیت (شکل ۴ ت) و ایلمینیت (شکل ۴ ث) شده است. همچنین در تعدادی از نمونه ها هم رشدی بین پیروتیت و کالکوپیریت (شکل ۴ ج) مشاهده می شود. کالکوپیریت تا ۱۵٪، در تعدادی از نمونه ها به صورت کاملاً بی شکل حضور داشته و بعضی از فضاهای بین بلورهای مجاور نظیر پیروتیت را پر کرده است (شکل ۴ چ). همچنین این کانی در برخی از نمونه ها از حاشیه جانشین پیروتیت شده (شکل ۴ ج) و گاهی به صورت ادخال در داخل کانی های پیروتیت و اسفالریت (شکل ۵ الف) مشاهده می شود. پنتلاندیت تا ۲۰٪ با فرمول شیمیایی ($Fe,Ni)_9S_8$ دارای مقادیر مغایری آهن و نیکل است که اغلب میزان Ni آلی بیشتر از Fe است. این کانی با رنگ بازتابی کرم روشن قابل تشخیص بوده و در اغلب نمونه های مورد بررسی به صورت ادخال در پیروتیت مشاهده می شود.



شکل ۴ تصاویر میکروسکوپی از کانه‌های سولفیدی در نمونه‌های مورد بررسی (pp1). (الف) کانه‌های سولفیدی پیروتیت و پنتلاندیت که کانه‌های سیلیکاتی را در بر گرفته، (ب) پیروتیت که در بیشتر نمونه‌های منطقه حضور دارد، (پ) تیغه‌های بهرنگ روشن تروپلیت و ادخال پیریت در پیروتیت، (ث) پیروتیت دارای ادخال‌هایی از کالکوپیریت، اسفالریت و مگنتیت، (ج) پیروتیت و پنتلاندیت که جانشین ایلمنیت شده‌اند، (ج) هم رشدی پیروتیت و کالکوپیریت، (ج) کالکوپیریت به صورت بی شکل که فضای بین بلورهای پیروتیت را پر کرده است، (ج) کالکوپیریت که از حاشیه جانشین پیروتیت شده است.



شکل ۵ تصاویر میکروسکوپی از کانه‌های سولفیدی در نمونه‌های مورد بررسی (ppl). الف) ادخال کالکوپیریت در پیروتیت و اسفالریت که از حاشیه جانشین پیروتیت شده است. ب) پنتلاندیت که در اثر دگرسانی برونزادی به ویولاریت تبدیل شده است، پ) پیریت نسل اول نیمه شکل‌دار، که به صورت ادخال در پیروتیت مشاهده می‌شود، ت و ث) کانه اسفالریت که دارای بیماری کالکوپیریت است، ج) دگرسانی برونزادی پیروتیت به پیریت که منجر به تشکیل بافتی خاکستری تیره و هیدروکسی / اکسیدهای آهن حاصل از اکسایش پیروتیت، چ) دگرسانی برونزادی پیروتیت به پیریت که به صورت حاشیه‌هایی در اطراف پیروتیت و رگه‌هایی که بلورهای پیروتیت را قطع کرده‌اند مشاهده می‌شوند. (پیروتیت: Po، پنتلاندیت: Pn، کالکوپیریت: Ccp، پیریت: Py، تروپیلیت: Gth، اسفالریت: Sp، ایلمنیت: Ilm، مگنتیت: Mag، ویولاریت: Viol)

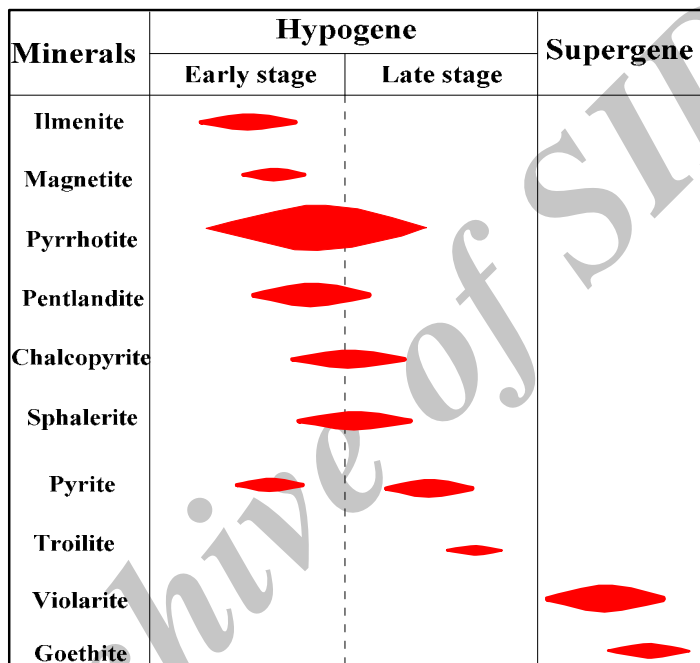
درهم که بعضی از آن‌ها نمایانگر بافت‌های جدایشی هستند، در کانه‌های سولفیدی می‌شوند، معمول‌اند و شامل رشد کالکوپیریت

دنباله‌ی پارازنیکی کانی‌های درون‌زاد و برونزاد نمونه‌های مورد بررسی در شکل ۶ نشان داده شده‌اند. بافت‌های رشد

آنالیز ریزپردازشی کانه‌های سولفیدی

از آنالیز ریزپردازشی کانه‌های سولفیدی نمونه‌های مافیک می‌شود به منظور شناسایی فازهای مجھول و نیز بررسی ژئوشیمی عنصر اصلی و فرعی صورت گرفته، اطلاعاتی در مورد ترکیب شیمیایی کانه‌ها و مقدار عناصر کمیاب در آنها به دست آمد. نتایج آنالیز ریزپردازشی ۳۰ نقطه از کانه‌های سولفیدی شامل ۲۰ نقطه پیروتیت، ۴ نقطه پنتلاندیت، ۴ نقطه پیریت و ۲ نقطه کالکوپیریت در جدول‌های ۱ تا ۳ آورده شده‌اند.

در اسفالریت و ترولیت در پیروتیت می‌شوند. وجود کالکوپیریت در اسفالریت بیماری کالکوپیریت خوانده می‌شود. ساختار اسفالریت از نزدیک شبیه به کالکوپیریت است. انحلال جامد حداقل به طور محدود در دماهای بالا رخ می‌دهد و جدایش هنگام افت دما امکان پذیر است [۱۱، ۱۰]. اسفالریت و کالکوپیریت در دماهای بالای 350°C تا 400°C قادر به انحلال جامد بوده و کالکوپیریت در دماهای پایین‌تر از اسفالریت جدا می‌شود [۱۲].



شکل ۶ دنباله‌ی پاراژنیکی کانه‌های درون‌زاد و برونزاد در منطقه‌ی مورد بررسی.

جدول ۱ نتایج آنالیز کانه‌های سولفیدی پیروتیت و پنتلاندیت نمونه‌ی مافیک (G.K.4) به روش ریزپردازش الکترونی.

Element %	Pyrrhotite					Pentlandite			
	G.K.4					G.K.4			
	۱	۴	۳	۲		۳	۲	۱	
As	۰,۰۰	۰,۰۳	۰,۰۲	۰,۰۷		۰,۰۰	۰,۰۸	۰,۰۲	
S	۳۶,۴۰	۳۶,۵۳	۳۶,۸۳	۳۶,۱۱		۳۲,۲۴	۳۲,۴۸	۳۲,۰۸	
Te	۰,۰۰	۰,۰۲	۰,۰۱	۰,۰۰		۰,۰۵	۰,۲۸	۰,۲۵	
Fe	۶۴,۰۵	۶۳,۷۸	۶۲,۳۲	۶۳,۸۴		۳۱,۵۳	۳۱,۶۰	۳۵,۰۵	
Sb	۰,۰۰	۰,۰۱	۰,۰۰	۰,۰۳		۰,۰۵	۰,۰۰	۰,۰۰	
Sn	۰,۰۰	۰,۰۰	۰,۰۱	۰,۰۰		۰,۰۰	۰,۰۱	۰,۰۰	
Cu	۰,۰۱	۰,۰۲	۰,۰۰	۰,۰۱		۰,۰۰	۰,۰۰	۰,۰۰	
Au	۰,۰۰	۰,۰۱	۰,۰۰	۰,۰۱		۰,۰۰	۰,۰۷	۰,۰۰	
Zn	۰,۰۰	۰,۰۳	۰,۰۵	۰,۰۰		۰,۰۰	۰,۰۰	۰,۰۰	
Ni	۰,۰۰	۰,۰۰	۰,۱۷	۰,۰۰		۲۵,۱۷	۲۵,۵۹	۲۷,۵۲	
Co	۰,۰۰	۰,۰۰	۰,۰۰	۰,۰۰		۱۱,۱۵	۱۰,۴۴	۴,۹۰	
Total	۱۰۰,۴۶	۱۰۰,۴۴	۱۰۰,۴۱	۱۰۰,۰۷		۱۰۱,۳۹	۱۰۱,۵۵	۹۹,۸۲	

جدول ۲ نتایج آنالیز کانی‌های سولفیدی پیروتیت، پیریت و کالکوپیریت نمونه مافیک (G.K.18) به روش ریزپردازش الکترونی.

Element %	Pyrrhotite								Pyrite			Chalcopyrite		
	G.K.18								1	2	3	1	2	
As	۰/۰۰	۰/۰۰	۰/۰۰	۰/۰۵	۰/۰۶	۰/۰۰	۰/۰۰	۰/۰۰	۰/۰۰	۰/۰۵	۰/۰۰	۰/۰۰	۰/۰۰	۰/۰۰
S	۳۸,۴۲	۳۸,۷۱	۳۷,۸۵	۳۸,۲۵	۳۸,۰۰	۳۸,۳۸	۳۶,۶۸	۳۸,۶۲	۴۸,۸۴	۵۲,۳۹	۵۲,۱۲	۳۴,۶۱	۳۵,۶۰	
Te	۰/۰۰	۰/۰۰	۰/۰۱	۰/۰۶	۰/۰۳	۰/۰۰	۰/۰۰	۰/۰۰	۰/۰۰	۰/۰۱	۰/۰۰	۰/۰۲	۰/۰۰	
Fe	۶۱,۶۱	۶۱,۸۰	۶۱,۷۳	۶۱,۹۱	۶۱,۵۱	۶۱,۵۷	۵۹,۴۹	۶۱,۳۱	۴۵,۲۴	۴۶,۷۴	۴۶,۶۲	۳۰,۶۷	۳۰,۶۵	
Sb	۰/۰۰	۰/۰۰	۰/۰۰	۰/۰۰	۰/۰۰	۰/۰۳	۰/۰۰	۰/۰۰	۰/۰۰	۰/۰۰	۰/۰۳	۰/۰۰	۰/۰۰	
Sn	۰/۰۰	۰/۰۰	۰/۰۰	۰/۰۰	۰/۰۱	۰/۰۰	۰/۰۰	۰/۰۰	۰/۰۱	۰/۰۰	۰/۰۱	۰/۰۰	۰/۰۰	
Cu	۰/۰۰	۰/۰۰	۰/۰۰	۰/۰۰	۰/۰۰	۰/۰۰	۰/۰۰	۰/۰۰	۰/۰۱	۰/۰۰	۰/۰۰	۳۵,۴۱	۳۵,۵۰	
Au	۰/۰۱	۰/۱	۰/۰۰	۰/۰۲	۰/۰۵	۰/۰۰	۰/۰۱	۰/۰۶	۰/۰۴	۰/۰۰	۰/۰۴	۰/۰۸	۰/۰۰	
Zn	۰/۰۰	۰/۰۰	۰/۰۴	۰/۰۱	۰/۰۰	۰/۰۰	۰/۰۰	۰/۰۵	۰/۰۰	۰/۰۰	۰/۰۰	۰/۰۳	۰/۰۵	
Ni	۰/۰۸	۰/۰۶	۰/۰۴	۰/۰۵	۰/۱۰	۰/۰۶	۰/۰۸	۰/۰۵	۰/۰۷	۰/۱	۰/۰۸	۰/۰۰	۰/۰۰	
Co	۰/۰۰	۰/۰۰	۰/۰۰	۰/۰۰	۰/۰۰	۰/۰۰	۰/۰۰	۰/۰۰	۰/۰۰	۰/۰۰	۰/۰۰	۰/۰۰	۰/۰۰	
Total	۱۰۰,۱۲	۱۰۰,۶۷	۹۹,۶۷	۱۰۰,۳۵	۹۹,۷۶	۱۰۰,۰۴	۹۶,۲۶	۱۰۰,۱۰	۹۴,۰۰	۹۹,۲۹	۹۸,۹۰	۱۰۰,۸۲	۱۰۱,۸۰	

جدول ۳ نتایج آنالیز کانی‌های سولفیدی پیروتیت، پنتلاندیت و پیریت نمونه مافیک (G.A.9) به روش ریزپردازش الکترونی.

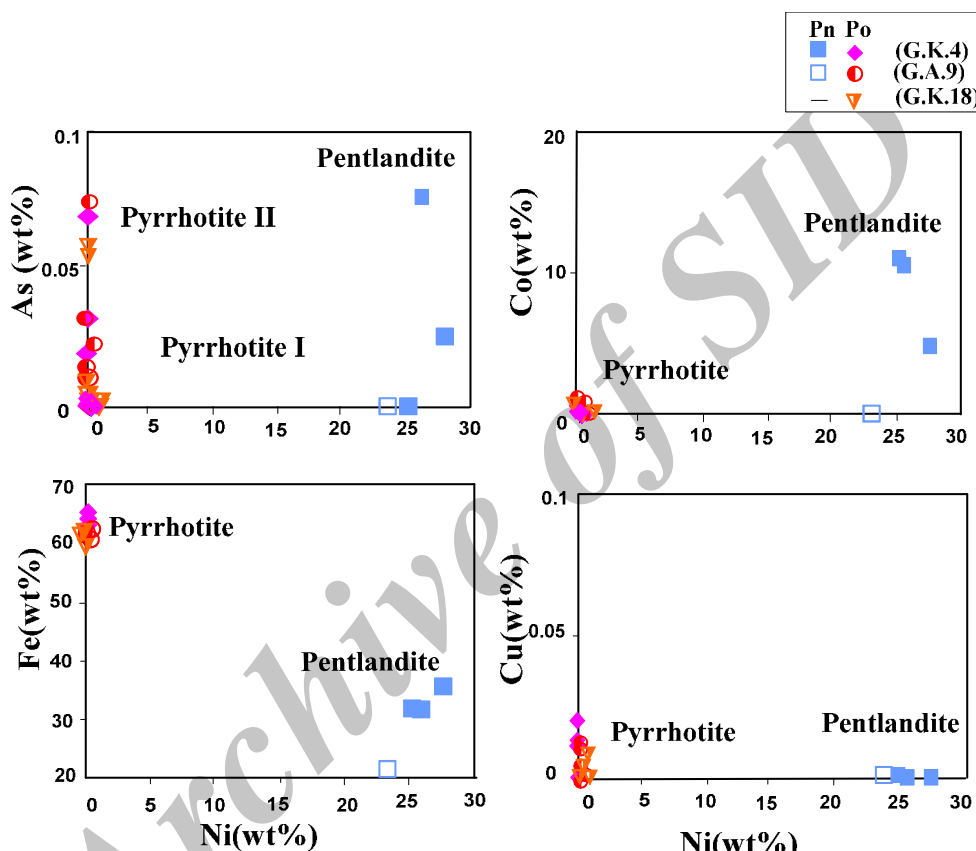
Element %	Pyrrhotite								Pentlandite		Pyrite		
	G.A.9								G.A.9	G.A.9	G.A.9	G.A.9	
	۱	۲	۳	۴	۵	۶	۷	۸	۱	۱	۱	۱	
As	۰/۰۳	۰/۰۱	۰/۰۰	۰/۰۰	۰/۰۰	۰/۰۱	۰/۰۱	۰/۰۲	۰/۰۰	۰/۰۰	۰/۰۱		
S	۳۸,۶۱	۳۷,۹۹	۳۹,۳۹	۳۸,۳۲	۳۸,۰۵	۳۸,۶۷	۳۸,۹۲	۴۱,۲۹	۳۰,۸۳	۳۰,۸۳	۵۰,۹۴		
Te	۰/۰۴	۰/۰۰	۰/۰۱	۰/۰۳	۰/۰۱	۰/۰۱	۰/۰۴	۰/۰۰	۰/۱۹	۰/۰۳			
Fe	۶۱,۰۹	۶۱,۳۶	۶۰,۹۸	۶۱,۰۰	۶۰,۸۲	۶۰,۸۰	۶۰,۸۱	۶۰,۹۴	۲۱,۴۱	۴۵,۵۲			
Sb	۰/۰۰	۰/۰۳	۰/۰۰	۰/۰۰	۰/۰۳	۰/۰۰	۰/۰۰	۰/۰۳	۰/۰۰	۰/۰۱			
Sn	۰/۰۱	۰/۰۱	۰/۰۱	۰/۰۰	۰/۰۰	۰/۰۰	۰/۰۱	۰/۰۱	۰/۰۰	۰/۰۲			
Cu	۰/۰۰	۰/۰۰	۰/۰۰	۰/۰۱	۰/۰۰	۰/۰۱	۰/۰۰	۰/۰۰	۰/۰۰	۰/۰۰	۰/۰۱		
Au	۰/۰۰	۰/۰۰	۰/۰۰	۰/۰۰	۰/۰۵	۰/۰۰	۰/۰۰	۰/۰۴	۰/۰۰	۰/۰۳			
Zn	۰/۰۰	۰/۰۱	۰/۰۱	۰/۰۲	۰/۰۲	۰/۰۰	۰/۰۳	۰/۰۲	۰/۰۰	۰/۰۰			
Ni	۰/۳۰	۰/۳۷	۰/۳۱	۰/۳۲	۰/۳۱	۰/۳۱	۰/۳۲	۰/۳۵	۲۳,۵۰	۰/۵۱			
Co	۰/۰۰	۰/۰۰	۰/۰۰	۰/۰۰	۰/۰۰	۰/۰۰	۰/۰۰	۰/۰۰	۲۵,۱۸	۰/۰۰			
Total	۱۰۰,۰۸	۹۹,۶۸	۱۰۰,۷۱	۹۹,۷۰	۹۹,۸۰	۹۹,۸۱	۱۰۰,۱۴	۱۰۲,۷۰	۱۰۱,۱۱	۹۷,۰۸			

(۰/۶۴-۰/۵۹) بالاتر از میزان آن در پنتلاندیت‌ها (۰/۴۱-۰/۲۱) بوده است. با توجه به این که کبات و نیکل در پنتلاندیت‌ها جانشین آهن می‌شوند [۱۳]، در نتیجه میزان آهن کبات و نیکل را در مقابله با پنتلاندیت‌ها قابل توجیه است. در شکل ۸ میزان تمرکز آهن، کبات و آرسنیک در مقابله گوگرد برای پیروتیت و پنتلاندیت نشان داده شده است. میزان گوگرد در پیروتیت‌ها با افزایش آهن و آرسنیک اندکی کاهش نشان می‌دهد. از طرف دیگر، میزان گوگرد با افزایش کبات نسبتاً ثابت است. همچنین میزان گوگرد در پنتلاندیت‌ها با افزایش آرسنیک، آهن و کبات تقریباً ثابت است.

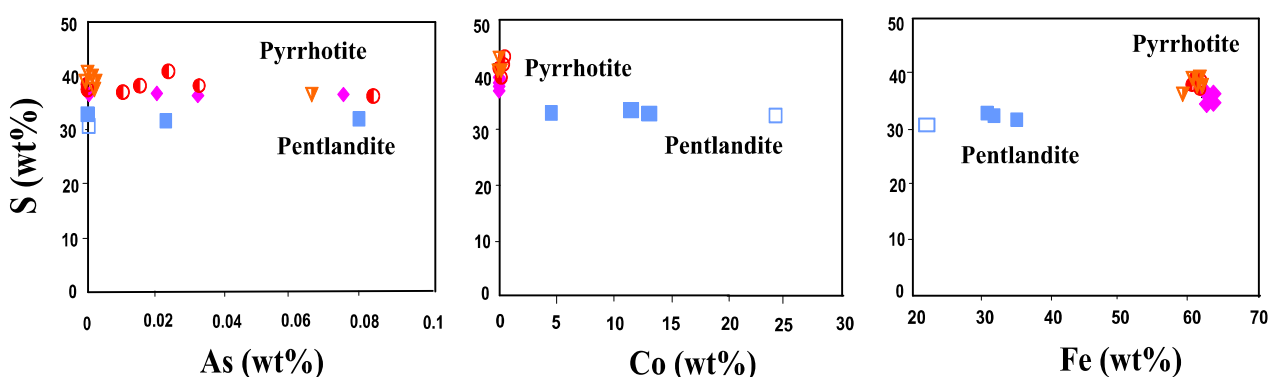
پیروتیت - پنتلاندیت
بر اساس ویژگی‌های ژئوشیمیایی و میزان تمرکز عنصر آرسنیک، کبات، آهن و مس در مقابله نیکل، دو نوع پیروتیت در نمونه‌های مافیک مورد بررسی قابل شناسایی‌اند (شکل ۷). نوع اول نسبتاً غنی از آرسنیک (۰/۰۵-۰/۰۷٪) و نوع دوم نسبتاً فقیر از آرسنیک (۰/۰۳-۰/۰۰٪) بوده و میزان کبات در پیروتیت‌ها صفر است، بر همین اساس میزان Co در پنتلاندیت‌ها (۰/۲۰-۰/۴۹٪) بوده و نیز مقدار نیکل در پنتلاندیت‌ها (۰/۲۵-۰/۲۷٪) بسیار بالاتر از پیروتیت‌ها (۰/۰۳-۰/۰۵٪) است. از طرف دیگر میزان آهن در پیروتیت‌ها

موجود در پیروتیت‌ها عبارتند از: Zn با میانگین 0.01 wt\% درصد، Te با میانگین 0.01 wt\% درصد، Sb با میانگین 0.02 wt\% درصد، Au با میانگین 0.01 wt\% درصد. بنابر محاسبات انجام شده روی مقادیر به دست آمده از آنالیز ریزپردازشی پیروتیت (FeS) تا $\text{Fe}_{0.8}\text{S}$ و $\text{Fe}_{0.16}\text{Ni}_{3.33}\text{Co}_{3.5}\text{S}_8$ تا $(\text{Fe}_{3.16}\text{Ni}_{3.33}\text{Co}_{3.5}\text{S}_8)$ پنتلاندیت دارای فرمول $(\text{Fe}_{4.96}\text{Ni}_{3.68}\text{Co}_{0.64}\text{S}_8)$ هستند.

مانده است. طبق [۱۴] با مقایسه‌ی نسبت‌های Co/Ni در کانه‌های سولفیدی، می‌توان ذخایر اکسیدی آهن ($\text{Co}/\text{Ni} > 1$) را از اکسیدهای ماقمایی و ذخایر Ni-Fe-Cu نامیزد. میانگین نسبت Co/Ni ($\text{Co}/\text{Ni} < 1$)، تمیز داد. میانگین نسبت Co/Ni در پیروتیت‌های منطقه صفر بوده و در پنتلاندیت‌ها 0.5 است که نشان دهنده خاستگاه ماقمایی آن‌هاست. عناصر فرعی



شکل ۷ نقشه‌ی تمرکز عناصر Ni , Fe , Co , Cu و As برای پیروتیت و پنتلاندیت نمونه‌های مافیک میشو، [۱۵].

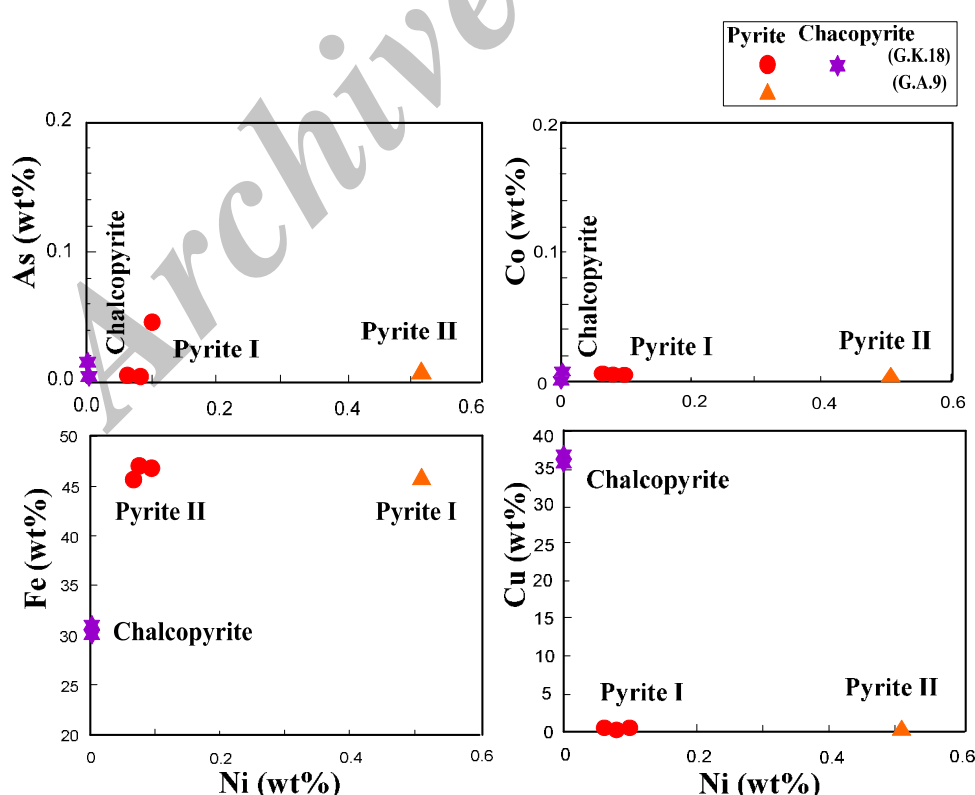


شکل ۸ نقشه‌ی تمرکز عناصر Co , As و Fe نسبت به گوگرد برای پیروتیت و پنتلاندیت نمونه‌های مافیک میشو [۱۵].

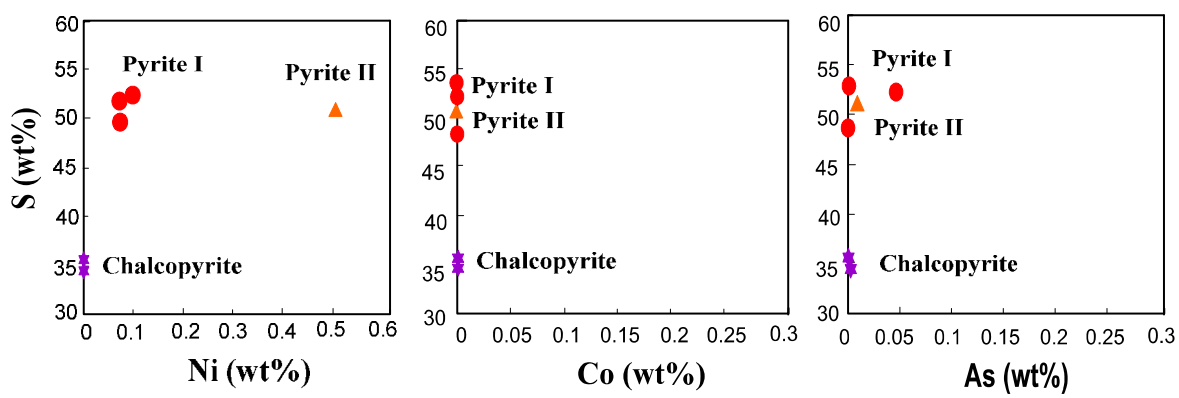
نشان دهندهی خاستگاه ماقمایی آن‌هاست. عناصر فرعی موجود در پیریت‌ها عبارتند از: Te با میانگین 0.01 wt\% , Sb با میانگین 0.01 wt\% , Sn با میانگین 0.01 wt\% , Au با میانگین 0.03 wt\% , و در کالکوپیریت‌ها عبارتند از: Zn با میانگین 0.04 wt\% , Te با میانگین 0.01 wt\% , Au با میانگین 0.04 wt\% , درصد بنابر محاسبات انجام شده روی مقادیر به دست آمده از آنالیز ریزپردازشی، پیریت دارای فرمول $\text{Cu}_{0.99}\text{Fe}_{0.07}\text{S}_2$ تا $\text{Fe}_{1.02}\text{S}_2$ و کالکوپیریت $(\text{Fe}_{1.07}\text{S}_2)$ هستند. ترکیب فازهای سولفیدی پیروتیت، پنتلاندیت، پیریت و کالکوپیریت در نمودار $\text{S}-\text{Fe}-\text{Ni}$ [۱۶] رسم شده است (شکل ۱۲ الف). در این نمودار ترکیب شیمیایی پیریت، کالکوپیریت و پیروتیت تقریباً در وسط خط $\text{S}-\text{Fe}$ قرار دارند، و ترکیب پنتلاندیت در مرکز سیستم واقع شده است که نشان دهندهی میزان برابر S , Fe و Ni در آن است. در مثلث $\text{As}-\text{Cu}-\text{Ni}$ (شکل ۱۲ ب) کاهش میزان Ni با افزایش As و Cu مشاهده می‌شود که این پدیده به تکامل ماقمای مافیک وابسته است.

پیریت - کالکوپیریت

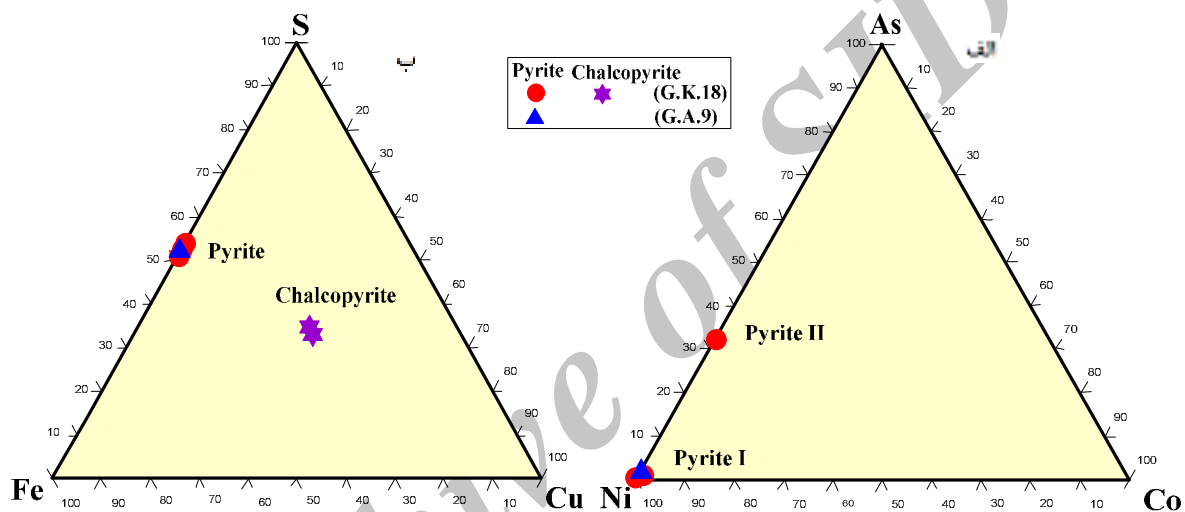
پیریت در نمونه‌های مورد بررسی بر اساس ویژگی‌های شیمیایی، به دو نوع رده‌بندی می‌شود. نوع اول نسبتاً غنی از نیکل (0.51 wt\%) و نوع دوم نسبتاً فقیر از نیکل (0.07 wt\%). کالکوپیریت با نسبت بالای Cu و میزان پایین As و Co نسبت به پیریت‌ها مشخص شده است. میزان تمرکز گوگرد در مقابل Ni, Co و As برای پیریت و کالکوپیریت در شکل ۱۰ نشان داده شده است. در نمودار مثلثی $\text{As}-\text{Ni}-\text{Co}$ [۱۵] پیریت غنی از نیکل (نوع ۱) روی خط $\text{Ni}-\text{As}$ و کاملاً نزدیک به Ni واقع شده، در حالی که پیریت نسبتاً فقیر از نیکل (نوع ۲) روی خط $\text{Ni}-\text{As}$ ، متمایل به سمت As قرار گرفته است (شکل ۱۱ الف). در دیاگرام مثلثی $\text{S}-\text{Fe}-\text{Cu}$ [۱۵]، هر دو نوع پیریت بر روی خط $\text{S}-\text{Fe}$ ، با مقدار نسبتاً بیشتر S ، واقع شده‌اند. از طرف دیگر در این نمودار کالکوپیریت‌ها تقریباً در وسط مثلث قرار گرفته‌اند که نشان دهندهی مقادیر تقریباً یکسان S , Co/Ni و Cu در آن‌هاست (شکل ۱۱ ب). میانگین نسبت در پیریت‌ها و کالکوپیریت‌های نمونه مافیک صفر می‌باشد که



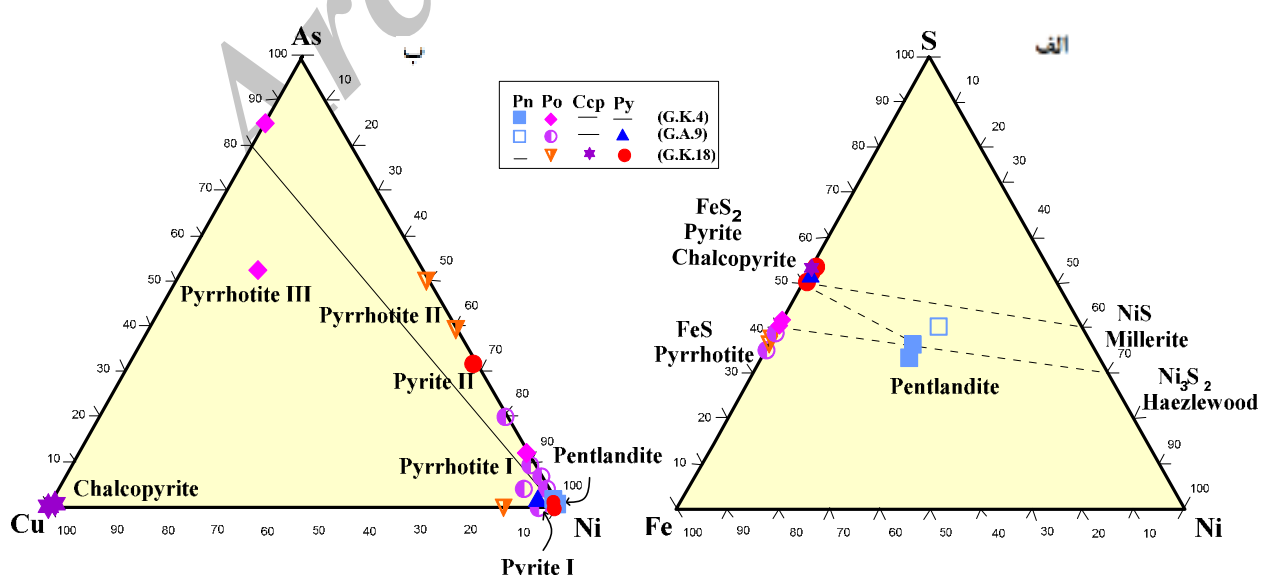
شکل ۹ نقشه‌ی عنصرهای Ni , Fe , Co , As و Cu نسبت به پیریت و کالکوپیریت نمونه‌های مافیک می‌شو [۱۵].



شکل ۱۰ نقشه‌ی عناصر As, Ni و Co نسبت به گوگرد برای پیریت و کالکوپیریت نمونه‌های مافیک میشو [۱۵].



شکل ۱۱ نمودارهای مثلثی نشان دهنده‌ی ترکیب عنصری پیریت و کالکوپیریت نمونه‌های مافیک میشو [۱۵]، الف) نمودار As-Ni-Co ب) نمودار S-Fe-Cu



شکل ۱۲ نمودارهای مثلثی الف) As-Cu-Ni، ب) S-Fe-Ni [۱۶]، نشان دهنده‌ی ترکیب کانه‌های سولفیدی (پیروتیت، پنتلاندیت، پیریت و کالکوپیریت) نمونه‌های مافیک میشو.

این مایع نامیزاك به شکل محلول جامد منوسولفید غنی از S، Ni و Cu در دماهای پایین‌تر از 600°C درجه تشکیل می‌شود. با کاهش دما تا پایین‌تر از 300°C درجه سانتیگراد، محلول جامد منوسولفید پایدار نبوده و به پیروتیت، پنتلاندیت و کالکوپیریت تجزیه می‌شود [۲۱، ۲۰، ۸]. زمان بسیار طولانی فرایند تبلور در مآگمای مافیک این فرصت را برای قطره‌های بسیار ریز مایع سولفیدی در خمیر بلوری فراهم کرده تا به تدریج به صورت یک فاز فرعی و چگال به هم بپیوندد و به قطره‌های بزرگ‌تر تبدیل شده و سپس از حجم نسبتاً بزرگی از سنگ‌های اطراف خود زهکشی شده و به صورت عدسی‌های غنی از سولفید در گابروها انباسته شوند. از آنجایی که منطقه‌های غنی از فازهای کانیایی اکسیدی در نمونه‌های مافیک مورد بررسی دیده نشده، شاید بتوان چنین استنباط کرد که فاز مایع اکسیدی به دلیل داشتن نقطه‌انجماد بالاتر نسبت به سولفیدها، بسیار زودتر از سولفیدها و همکام با سیلیکات‌ها از فاز مایع خارج شده و فرصت و امکان مهاجرت و انباست (همانند سولفیدها) را نداشته است.

برداشت

بررسی‌های کانی‌شناسی نشان می‌دهد که کانی‌سازی در سنگ‌های مافیک میشو شامل فازهای سولفیدی و اکسیدی (Fe-Ti) است که به صورت بین دانه‌ای ایجاد شده‌اند به این صورت که کانه‌های سولفیدی فضاهای خالی بین کانی‌های سیلیکاتی را پر کرده‌اند و در برخی از نمونه‌ها کاملاً در برگرفته و همانند سیمانی آن‌ها را به هم چسبانده‌اند. حالت شناوری کانی‌های سیلیکاتی در سولفیدها نشان می‌دهد که مذاب سولفیدی، پس از تشکیل بخش بزرگی از کانی‌های سیلیکاتی متبلور شده است. بخش سولفیدی بیشتر شامل پیروتیت ($\text{Fe}_{1-x}\text{S}_x$)، پیروتیت ($\text{Fe}_x\text{Ni}_{9-x}\text{S}_8$)، به‌وسیله کالکوپیریت (CuFeS_2)، پنتلاندیت (Fe_3O_4)، اسفالاریت (ZnS)، پیریت (FeS_2) و تروولیت (FeS) همراه است. ایلمنیت (FeTiO_2) و به مقدار کمتر مگنتیت (Fe_3O_4) فاز اکسیدی را تشکیل می‌دهند. کانه‌های ویولاریت (Ni_2FeS_4) و پیریت (FeS_2) در طول دگرانی و گوتیت ($\text{FeO} \cdot \text{OH}$) در طول هوازدگی کانه‌های سولفیدی تشکیل شده‌اند. بافت‌های جدایشی در کانه‌های سولفیدی میشو،

تشکیل فازهای کانیایی تیره در سنگ‌های مافیک میشو کانی‌های تیره در سنگ‌های مافیک میشو شامل فازهای اکسیدی و سولفیدی بوده که فضاهای بین کانی‌های سیلیکاتی را پر کرده‌اند. وجود انبوههای گرد شده و خمیده اکسیدی و سولفیدی و یا احاطه و سیمانی شدن کانی‌های سیلیکاتی به سولفیدها، می‌تواند نشان دهنده این باشد که در روند تبلور مآگمای تشکیل دهنده این سنگ‌ها، سه فاز مایع نامیزاك سیلیکاتی، سولفیدی و اکسیدی شرکت داشته است. گابروهای میشو از یک خاستگاه گوشته استنسوفری تهی شده با رخساره‌ی اسپینل- لرزولیت با ذوب بخشی $20 - 30$ درصد، از اعمق کمتر از 80 کیلومتر ریشه گرفته [۱۷] و نخست اکسیدها و سولفیدها به صورت همامیز در سیلیکات‌ها حضور داشته‌اند. با کاهش تدریجی دما و خارج شدن بخشی از سیلیکات‌های دیرگذازتر از فاز مایع، تمرکز اکسیدها به تدریج در فاز مایع افزایش یافته است. فازهای کانیایی اکسیدی دارای نقطه انجماد بالاتر نسبت به سولفیدها هستند، و به همین دلیل غلظت اکسیدها با کاهش تدریجی دما افزایش یافته و قطره‌های بسیار ریز اکسیدی (به حالت تعیقی) از مایع سیلیکاتی جدا شده و به صورت یک فاز مایع نامیزاك در آمد و این در حالی است که سولفیدها هنوز به صورت محلول در سیلیکات‌ها حضور داشتند. با پیشرفت تبلور سیلیکات‌ها و خارج شدن بخش بزرگ آن‌ها از فاز مایع، غلظت اکسیدها و سولفیدها مرتب رو به افزایش گذاشته و بر مقدار فاز مایع نامیزاك اکسیدی افزوده شده است. فازهای کانیایی اکسیدی شروع به تبلور کرده (کانه اکسیدی ایلمنیت در دمای 800°C درجه و مگنتیت در دمای 600°C درجه [۱۸])، که این پدیده در نفوذی‌های آذرین مافیک معمول است) و باعث افزایش غلظت سولفیدها در مایع باقی مانده شده است. با خارج شدن پیوسته فازهای کانیایی سیلیکاتی - اکسیدی از مایع باقیمانده و کاهش بیشتر دما به عنوان مهمترین عامل اشباع گوگرد [۱۹]، غلظت سولفیدها افزایش یافته و قطره‌های بسیار ریز سولفیدی به عنوان یک فاز مایع نامیزاك در مآگما شکل گرفته است. در این مرحله، بخش بزرگ سیلیکات‌ها متبلور شده و فازهای مایع فضاهای خالی بین بلورهای از پیش تشکیل شده را پر می‌کنند.

- [8] Kissin S. A., Scatt S. D., "phase relation involving pyrrhotite below $350C^{\circ}$ ", Economic.
- [9] Nickel E. H., Ross J. R., THornber., M. R., "The supergene alteration of Pyrrhotite – Pentlandite ore at Kambalda, Western Australia", Economic Geology V.69, (1974) pp 93-107
- [10] Ixer R. A., Duller P. R., "Virtual Atlas of Opaque and Ore Minerals in Their Associations", Internet Digital Atlas, Sponsored by SME. (1998).
- [11] Ramdohr P., "The Ore Minerals and Their Intergrowths, Pergamon", Oxford. (1980).
- [12] Freud H., "Applied Ore Microscopy", The MacMillan Company, (1966) p. 607
- [13] Barnes S-J., Lightfoot P.C., "Formation of magmatic nickel-sulfide ore deposits and processes affecting their copper and platinum-group element contents", In Hedenquist, J.W., Thompson, J.F.H., Goldfarb, R.J. and Richards, J.P. (eds.) Economic Geology 100th Anniversary Volume, (2005). p. 179-213.
- [14] Mazdab FK, Force ER., "Comparison of cobalt and nickel contents in sulfides from iron-oxide (Cu-Au-U-REE) occurrences with others hydrothermal and magmatic systems", Abstr. Annu. Meet. Geol.Soc. (1998) Am. 30: 369. (Abstract).
- [15] Abdel-Karim A. A. M., "Petrographic and chemical characterization of Fe-Ti oxides and sulfides hosted in mafic intrusions, south Sinai, Egypt", Implication for genesis (2009).
- [16] Halkoaho TAA, Alapieti TT, Lahtinen JJ, "The Sompujarvi PGE Reef in the Penikat layered intrusion, Northern Finland", Mineralogy and Petrology (1990) 42: 39-56.
- [17] قربانی م، حسین‌زاده ق، مؤید م، عظیم‌زاده ا، "بررسی‌های پترولوزیکی و زئوژیمیائی توده مافیک میشو (جنوب‌غرب مرند - آذربایجان شرقی)"، مجله پترولوزی اصفهان (در دست چاپ).
- [18] Hassan N., "Genese des depots de Fe-Ti-P associes aux intrusions lites (exemples: l'intrusion mafique de Sept-Iles, au Quebec; complexe de Duluth aux Etats-Unis)", PH.D., Universite du Quebec a Chicoutimi a Montreal. (2003).

معمول‌اند و شامل رشد کالکوپیریت در اسفالریت و ترویلیت در پیروپیت هستند. از این میان بافت جدایشی کالکوپیریت در اسفالریت بیانگر دماهای 350°C تا 400°C است. نسبت Ni-Co/Ni سولفیدها، نشان می‌دهد که آن‌ها در یک سیستم Fe-Cu منطقه‌های غنی از فازهای کانیای اکسیدی در نمونه‌های مورد بررسی دیده نشده‌اند، می‌توان چنین استنباط کرد که فاز مایع اکسیدی به دلیل داشتن نقطه‌ی انجماد بالاتر نسبت به سولفیدها، بسیار زودتر از سولفیدها و همگام با سیلیکات‌ها از فاز مایع خارج شده و فرصت و امکان مهاجرت و انباشت (همانند سولفیدها) را نداشته است.

مراجع

- [1] Naldrett A. J., "secular variation of magmatic sulfide deposits and their source magmas", Economic Geology V.105, (2010) 669-688
- [2] Michael P. F., Micheal L. Z., Douglas P. K., "Magmatic sulfide deposits (Models 1, 2b, 5a, 5b, 6a, 6b, and 7a; Page, 1986a-g)", U.S. Department of the Interior, (1995) pp 28- 38
- [۳] افتخارنژاد ج، قرشی م، مهرپرتو م، ارشدی س، زهره بخش ا، "نقشه زمین‌شناسی ۱:۲۵۰۰۰۰ تبریز - پلشت" سازمان زمین‌شناسی ایران (۱۳۷۰).
- [۴] محجل م، حاجی علیلو ب، "نقشه زمین‌شناسی ۱:۱۰۰۰۰۰ مرند"، سازمان زمین‌شناسی ایران (۱۳۷۳).
- [۵] مؤید م، مؤذن م، "نگرشی تویر موقعیت خط درز پالئوتیسیس در ایران"، فشرده مقالات ششمین همایش انجمن زمین‌شناسی ایران، دانشگاه شهید باهنر کرمان (۱۳۸۱).
- [۶] کلاگری ع، مؤذن م، مجتبهدی م، عامری ع، "بررسی کانیهای مات (سولفیدها و اکسیدها) در کمپلکس آذرین مافیک-اولترامافیک میشو، جنوب‌غرب مرند، شمال‌غرب ایران"، (۱۳۸۳).
- [۷] مؤید م، حسین‌زاده ق، "سنگنگاری و سنگ‌شناسی گرانیت‌وئیدهای A-Type شرق کوههای میشو با نگرشی بر اهمیت ژئودینامیکی آن‌ها، بلورشناسی و کانی‌شناسی ایران (۱۳۹۰).

< 51". Experiment in Geosciences 6/2, (1997) 57-58.

[21] Kojonen K, Gerville F, Merkle RK., "Mineralogy of the Keivitsa Cu-Ni-PGE deposits, northern Finland", Abstract. EGS-EUG-AUG Joint Assembly, Nice April (2003), session VGP 330.

[19] Gauert C., "Sulphide and oxide mineralization in the Uitkomst Complex, South Africa", Origin in a magma conduit. Journal of African Earth Sciences, 32 (2), (2001) 149-161.

[20] Sinyakova EF, Kosyakov VI, Shestakov VA., "Liquidus surface of the Fe-Ni-S system at the XS

Archive of SID